

ИМПУЛЬСНОЕ ПЕРЕМАГНИЧИВАНИЕ ПЛЕНОК  
ФЕРРИТ-ГРАНАТОВ ВБЛИЗИ ТОЧКИ КОМПЕНСАЦИИ  
МОМЕНТА ИМПУЛЬСА

Н.А. Логинов, М.В. Логунов,  
В.В. Рандошкин

Создание высокотемпературных сверхпроводников [1] открывает путь для резкого повышения быстродействия таких магнитооптических устройств, как модуляторы, переключатели, управляемые транспаранты и т.п. Это можно обеспечить, если в основу функционирования указанных устройств положить не движение доменных стенок, а процессы вращения намагниченности, реализующиеся в сильных магнитных полях. Как следует из уравнения Ландау-Лифшица-Гильберта, под действием поля  $H$  магнитный момент прецессирует вокруг направления поля с угловой частотой [2]

$$\omega = \frac{\gamma H}{1 + \alpha^2} \quad (1)$$

и в то же время релаксирует по экспоненте к направлению поля с характерным временем [2]

$$\tau = \frac{1 + \alpha^2}{\alpha \gamma H} \cdot \quad (2)$$

Здесь  $\gamma$  – эффективное значение гиromагнитного отношения,  $\alpha$  – безразмерный параметр затухания Гильберта. Как следует из (1), (2), при  $\alpha \ll 1$  магнитный момент совершил большое число оборотов вокруг направления магнитного поля в процессе релаксации. Число оборотов (время перемагничивания) уменьшается, если использовать материалы с  $\alpha \approx 1$ . К числу таких материалов относятся монокристаллические пленки феррит-гранатов (МПФГ) с компенсацией момента импульса (КМИ) по температуре или по составу, в которых  $\gamma \gg \gamma_0$  ( $\gamma_0$  – гиromагнитное отношение для  $Fe^{3+}$ ) и  $\alpha \approx 1$  [3–6].

В настоящей работе на примере МПФГ состава  $(Gd, Tm, Bi)_3 (Fe, Ga)_5 O_{12}$  исследовано импульсное перемагничивание пленок вблизи точки КМИ по температуре. Приводятся результаты для образца со следующими параметрами ( $20^\circ C$ ): толщина  $h = 15.6$  мкм, характеристическая длина  $l = 1.25$  мкм, намагниченность насыщения  $4\pi M = 152$  Гс, поле одноосной анизотропии  $H_K = 2.1$  кЭ, температура КМИ  $T_{KMI} = 57^\circ C$ . В исходном состоянии пленку намагничивали до насыщения полем смещения  $H_{cm}$ , перпендикулярным плоскости пленки. Импульсное поле  $H$  с длительностью фронта 10 нс прикладывали в обратном направлении и регистрировали время перемагничивания  $\tau_H$  методом фотоотклика. Одновременно устанавливали

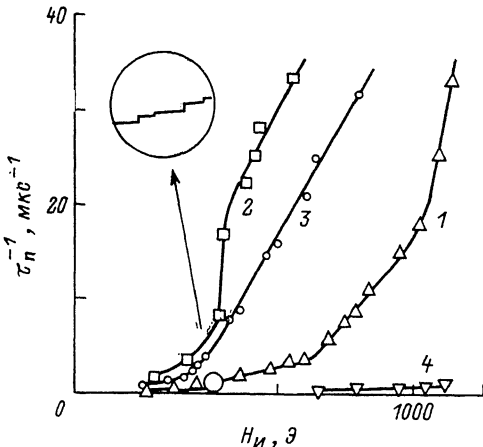


Рис. 1. Кривые импульсного перемагничивания пленок феррит-гранатов в зависимости от температуры,  $^{\circ}\text{C}$ : 1 - 19, 2 - 57, 3 - 70 (образец № 1), 4 - 20 (образец № 2).

вали механизм перемагничивания путем наблюдения динамики процесса с помощью высокоскоростной фотографии [7].

Основные динамические характеристики изучаемого процесса (кривые импульсного перемагничивания (КИП) [7-9]) приведены на рис. 1 для  $T_{\text{КМИ}}$  (2), а также выше (3) и ниже (1) температуры КМИ.

Рассмотрим КИП при  $19^{\circ}\text{C}$  (рис. 1, 1). КИП имеет несколько характерных участков. На первом ( $H_H < 200$  Э) домены с обратной намагниченностью не образуются, перемагничивание не происходит и  $\tau_{\pi}^{-1}=0$ . Появлению первого зародыша и реализации механизма перемагничивания движением доменных стенок (ДС) соответствует скачок на КИП. При увеличении  $H_H$  число зародышей возрастает (рис. 2), а на КИП наблюдаются вертикальные скачки в полях, соответствующих образованию новых зародышей (вставка на рис. 1). В интервалах  $H_H$ , где число зародышей неизменно,  $\tau_{\pi}^{-1}$  плавно растет, поскольку подвижность ДС  $\gg 0$  в исследуемом интервале полей [4]. Таким образом, КИП является фрактальной кривой [10], и аппроксимация КИП прямыми тонкими линиями возможна лишь при достаточно высокой плотности зародышей новой магнитной фазы, как это имеет место на участке  $300$  Э  $< H_H < 700$  Э. При  $H_H > 700$  Э увеличивается коэффициент переключения КИП

$$S_w = \tau_{\pi} (H_H - H_p). \quad (3)$$

Здесь  $H_p$  - пороговое поле, определяемое точкой пересечения прямой, аппроксимирующей участок КИП, с осью абсцисс. Увеличение  $S_w$  связано с изменением механизма зародышеобразования - наряду с точечными зародышами появляются полосовые длиной до  $0.1-1$  мм. На участке  $H_H > 1000$  Э происходит переход к механизму перемагничивания движением торцевой ДС [9].

Вблизи  $T_{\text{КМИ}}$  вплоть до  $\tau_{\pi} \sim 20-30$  нс перемагничивание осуществляется зародышеобразованием и движением ДС, но из-за изменения вклада этих двух механизмов наблюдается нелинейность

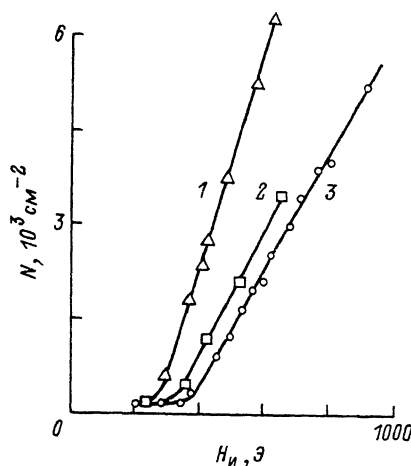
Рис. 2. Плотность зародышей в пленке с КМИ в зависимости от импульсного поля при температуре, °С: 1 - 19, 2 - 57, 3 - 70.

КИП (рис. 1, 2). Так, перегиб при  $H_i \sim 400$  Э связан с ростом плотности зародышей, а уменьшение  $S_H$  при  $H_i \geq 500$  Э происходит из-за возрастающей роли начальной стадии процесса перемагничивания - зарождения доменов, поскольку скорость ДС превышает 2 км/с. При комнатной

температуре скорость ДС на порядок ниже. Выше точки КМИ скорость ДС также падает, зарождение доменов занимает меньшую часть времени перемагничивания, и КИП в широком интервале  $H_i$  аппроксимируется прямой линией (рис. 1.3). В целом  $\tau_p$  тем меньше, чем ближе значение температуры к точке КМИ. Отметим, что с возрастанием температуры обнаружено снижение плотности зародышей (рис. 2). Возможно, это связано с изменением фактора качества МПФГ, поскольку поле анизотропии возрастает до 2.8 кЭ при 70 °С.

На рис. 1, г для сравнения приведена КИП для МПФГ ( $Y_{4\mu}, Bi$ )<sub>3</sub> ( $Fe, Ga$ )<sub>5</sub> O<sub>12</sub> с  $\alpha \ll 1$ ,  $4\pi\mu = 322$  Гс,  $H_k = 2.4$  кЭ (образец № 2). В исследуемом диапазоне полей время перемагничивания на 1-3 порядка ниже, чем пленки с КМИ, а перемагничивание осуществляется зарождением доменов и движением их ДС.

Трудности получения импульсов магнитного поля с амплитудой  $H_i > H_k$  и малым временем нарастания ( $\lesssim 1$  нс) не позволили в настоящей работе провести исследование процесса импульсного перемагничивания МПФГ вблизи КМИ посредством вращения намагниченности по объему пленки. Тем не менее изученные механизмы перемагничивания обеспечивают переключение ячеек магнитооптического управляемого транспаранта за время  $< 20$  нс.



## Л и т е р а т у р а

- [1] Головашкин А.И. - УФН, 1987, т. 152, в. 4, с. 553-573.
- [2] Эшенфельдер А. Физика и техника цилиндрических магнитных доменов, М.: Мир, 1983. 496 с.
- [3] Заболотная Н.В., Осико В.В., Рандошин В.В., Сигачев В.Б., Тимошечкин М.И. - Письма в ЖТФ, 1984, т. 10, в. 13, с. 788-792.

- [4] Рандошкин В.В., Сигачев В.Б. - Письма в ЖЭТФ, 1985, т. 42, в. 1, с. 34-37.
- [5] Рандошкин В.В., Сигачев В.Б. - ФТТ, 1987, т. 29, в. 9, с. 2658-2665.
- [6] Сукстанский А.Л., Христева Т.В. - ФТТ, 1987, т. 29, в. 9, с. 2822-2823.
- [7] Логунов М.В., Рандошкин В.В. - ЖТФ, 1985, т. 55, в. 10, с. 1987-1991.
- [8] Колотов О.С., Куделькин Н.Н., Погожев В.А., Телескин Р.В. - ЖТФ, 1985, т. 55, в. 4, с. 761-764.
- [9] Дудоров В.Н., Логунов М.В., Рандошкин В.В. - ФТТ, 1986, т. 28, в. 5, с. 1549-1552.
- [10] Зельдович Я.Б., Соколов Д.Д. - УФН, 1985, т. 146, в. 3, с. 493-506.

Мордовский государственный  
университет им. Н.П. Огарева

Поступило в Редакцию  
15 апреля 1988 г.

Письма в ЖТФ, том 14, вып. 14

12 июля 1988 г.

## СТРОГИЕ УСЛОВИЯ КВАНТОВАНИЯ ДЛЯ МНОГОГРАННЫХ РЕЗОНАТОРОВ

В.В. Корнейчик, Т.М. Корнейчик

1. Приближенные условия квантования, в соответствии с которыми длина волны собственного колебания резонатора пропорциональна длине замкнутого пути луча, последовательно отражающегося от его стенок, широко применяются как при практическом расчете резонаторных устройств, так и в математической физике [1, 2]. В предыдущей работе авторов [3] получены новые условия квантования для двумерных резонаторов в форме элементарных многоугольников; в соответствии с этими условиями длина волны собственного колебания не прямо, а обратно пропорциональна длине замкнутого пути луча:

$$\lambda_{pq} = \frac{NS}{m L_{pq}}, \quad (1)$$

где  $N$  - число плоских волн, на которые раскладывается колебание резонатора,  $S$  - площадь резонатора,  $m$  - наибольший общий делитель индексов колебания  $p$  и  $q$ ,  $L_{pq}$  - длина замкнутого пути луча, распространяющегося перпендикулярно направлениям распространения этих плоских волн. В данной работе показано, что рассмотрение трехмерных колебаний приводит к еще более неожиданным ре-